

грали перекрытия соответствующих волновых функций поперечного движения  $\int \psi_{hk\downarrow}(r, \varphi) \psi_{hk\downarrow}(r, \varphi) r dr d\varphi$ . Поэтому разрешенными под действием света являются только переходы между дислокационными состояниями одинаковой симметрии. Таким образом, дислокационное крыло поглощения в основном формируется переходами только из симметричных состояний в симметричные.

### Л и т е р а т у р а

- [1] Shockley W. // Phys. Rev. 1953. V. 91. N 1. P. 228.
- [2] Landauer R. // Phys. Rev. 1954. V. 94. N 5. P. 1386–1388.
- [3] Бонч-Бруевич В. Л. // ФТТ. 1961. Т. 3. № 1. С. 47–52.
- [4] Emtage P. R. // Phys. Rev. 1967. V. 163. N 3. P. 865–872.
- [5] Молоцкий М. И. // ФТТ. 1969. Т. 11. № 8. С. 2380–2381.
- [6] Лишшик И. М., Пуникаров Х. И. // Письма в ЖЭТФ. 1970. Т. 11. № 9. С. 456–459.
- [7] Winter S. // PSS. 1977. V. B79. N 2. P. 637–642.
- [8] Абрамов А. А., Диткин В. В., Конюхова Н. Б. // ЖВМиМФ. 1980. Т. 20. № 5. С. 1155–1173.

Киевский государственный университет  
пм. Т. Г. Шевченко  
Киев

Поступило в Редакцию  
21 марта 1988 г.  
В окончательной редакции  
15 сентября 1988 г.

УДК 537.94

Физика твердого тела, том 31, в. 2, 1989  
Solid State Physics, vol. 31, № 2, 1989

## ПРОЯВЛЕНИЕ ЭФФЕКТОВ ТЕРМИЧЕСКОЙ ПАМЯТИ В СПЕКТРАХ ПОГЛОЩЕНИЯ КРИСТАЛЛОВ $\{N(CH_3)_4\}_2CoCl_4$

О. Г. Влох, И. И. Половинко, С. А. Свелеба

В несоразмерно-модулированных кристаллах недавно обнаружены эффекты, получившие название термической (ЭТП) и термооптической (ЭТОП) памяти [1–5]. ЭТП исследовался по диэлектрической проницаемости [2], рассеянию нейтронов [4] и спектрам ЯКР [5]. ЭТОП наблюдался методами оптического двупреломления  $\delta(\Delta n)$  [3]. В частности, для наблюдения последнего эффекта кристаллы выдерживались в несоразмерной (НС) фазе на протяжении нескольких часов при постоянной температуре. При дальнейшем изменении температуры в точке стабилизации появлялись слабые аномалии на зависимости  $\Delta n=f(T)$ . В работах [1–5] предполагалось, что в процессе стабилизации температуры поле несоразмерной модуляции образует волну упорядоченных дефектов и примесей. Последняя, взаимодействуя с волной сверхструктуры, приводит к появлению аномалий  $\Delta n$ . Очевидно, что возникновение волны упорядоченных дефектов повлияет и на другие оптические свойства НС кристаллов.

В данной работе исследованы температурные и временные зависимости спектров оптического поглощения кристаллов  $\{N(CH_3)_4\}_2CoCl_4$  ( $(TMA)_2CoCl_4$ ). Они характеризуются сложной последовательностью фазовых переходов, включающих две НС фазы. В процессе охлаждения происходит переход из параэлектрической фазы I ( $Pmcn$ ) при  $T_c=293$  К в НС фазу II, далее при  $T_c'=280.1$  К в сегнетоэлектрическую фазу III ( $P2_1cn$ ), при  $T_c''=277.6$  К в другую НС фазу II, при  $T_1=276$  К в фазу IV ( $P112_1/n$ ), при  $T_2=192$  К в фазу V ( $P121/cn$ ) и при  $T_3=122$  К в фазу VI ( $P2_12_12_1$ ) [6].

Рост кристаллов  $(\text{N}(\text{CH}_3)_2)_2\text{CoCl}_4$  проводился при постоянной температуре ( $T=300$  К) методом медленного испарения растворителя. Исходным сырьем служили соли  $(\text{N}(\text{CH}_3)_2)_2\text{Cl}$  и  $\text{CoCl}_4 + 6\text{H}_2\text{O}$ , взятые в стехиометрическом соотношении.

Измерения коэффициента поглощения проводились в температурной области 80—350 К с точностью стабилизации  $\pm 0.05$  К на установке, смонтированной на базе зеркального монохроматора ЗМР-3. Призмой Глана—Томсона свет поляризовался вдоль оси несоразмерности кристалла ( $E \parallel c$ ).

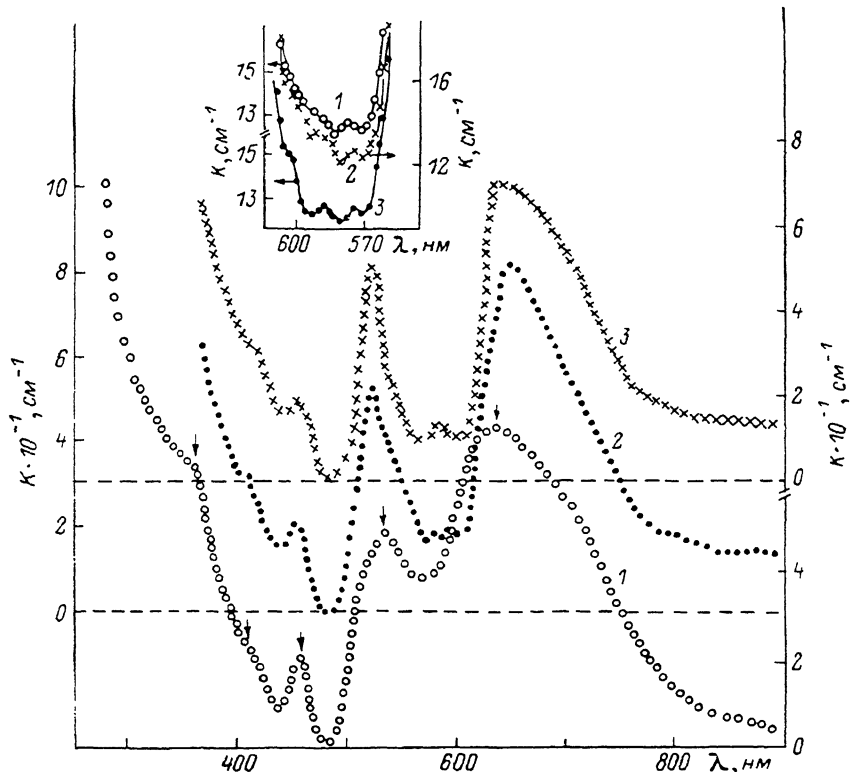


Рис. 1. Спектры поглощения кристаллов  $(\text{N}(\text{CH}_3)_2)_2\text{CoCl}_4$  в исходной I (314 К) (1), сегнетоэластической V (127 К) (2) и сегнетоэлектрической VI (88 К) (3) фазах.

На вставке — влияние термической предыстории на спектр поглощения кристаллов  $(\text{N}(\text{CH}_3)_2)_2\text{CoCl}_4$ : отжиг в фазе I в течение 25 ч (1) и выдержаных в НС фазе в течение 25 (2) и 50 ч (3).

Физические свойства кристаллов  $(\text{TMA})_2\text{CoCl}_4$  зависят от предыстории образцов [7], поэтому исследования спектров поглощения проводились как для свежевырезанных, так и для отожженных в НС или паразелектрической фазах. При этом оказалось, что стабильность и повторяемость результатов достигаются путем длительного отжига образцов в Р фазе. Так, на рис. 1 представлены спектры поглощения кристаллов  $(\text{TMA})_2\text{CoCl}_4$  в исходной I ( $T=314$  К), сегнетоэластической V ( $T=127$  К) и сегнетоэлектрической VI ( $T=88$  К) фазах, предварительно выдержанных в Р фазе в течение  $\sim 24$  ч для  $E \parallel c$ . Аналогичные зависимости получены и для других поляризаций света ( $E \parallel b$ ,  $E \parallel a$ ). На вставке рис. 1 показаны спектры поглощения при  $T=127$  К для образцов, выдержанных последовательно в Р (1) и НС (2, 3) фазах ( $E \parallel c$ ).

Как видно из рис. 1, в спектрах поглощения кристаллов  $(\text{TMA})_2\text{CoCl}_4$  в исходной фазе наблюдаются полосы, характерные для ионов  $\text{Co}^{2+}$ . Значения энергий фотонов, отвечающих максимумам этих полос и возможные переходы между уровнями в приближении кубического локального поля симметрии  $t\bar{3}m$ , представлены в таблице. В ультрафиолетовой области спектра ( $\lambda < 280$  нм) начинается резкое возрастание  $K$ , отве-

чающее краю фундаментального поглощения. С понижением температуры полосы ионов  $\text{Co}^{2+}$  становятся более резкими, а положение их максимумов незначительно изменяется. Край фундаментального поглощения при этом сдвигается в сторону меньших длин волн. В фазе V появляется дополнительная полоса поглощения с максимумом при  $\lambda=575$  нм. Если теперь исследуемый образец, предварительно отожженный в Р фазе, выдержать в НС фазе и снова охладить в фазу V, то в спектрах поглощения появляется еще одна полоса с максимумом при  $\lambda=585$  нм (вставка рис. 1). С увеличением времени выдерживания в НС фазе интенсивность этой полосы возрастает. Необходимо отметить, что полоса с  $\lambda=585$  нм наблюдалась

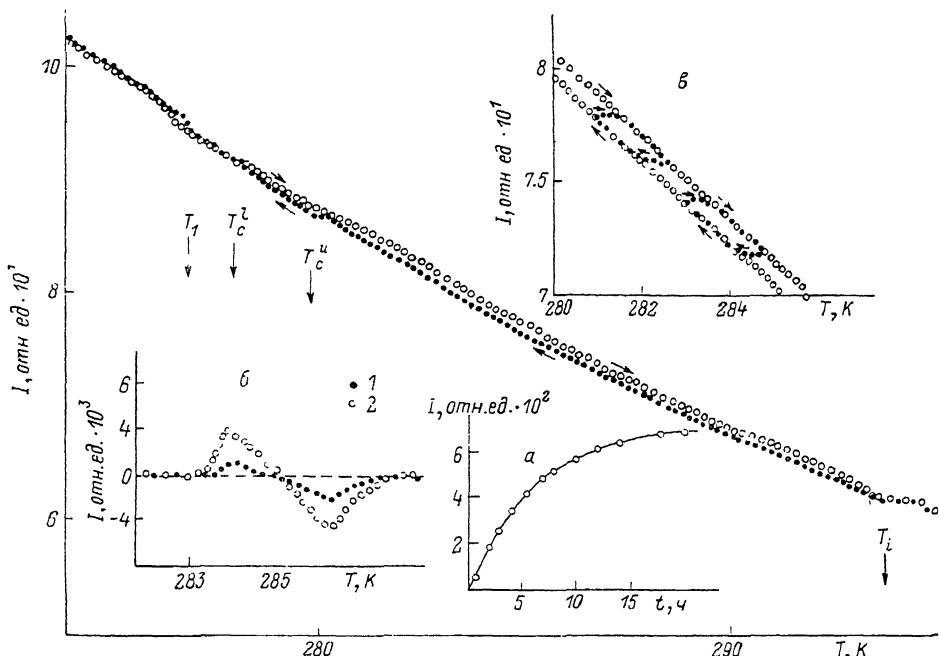


Рис. 2. Температурная зависимость оптического пропускания  $I$  кристаллов  $(\text{N}(\text{CH}_3)_4)_2\text{CoCl}_4$ .

На вставках: а — временные изменения  $I$  при стабилизации температуры в НС фазе; б — зависимость формы аномалии ЭТОП от времени выдерживания в НС фазе: 10 (1) и 25 ч (2); в — частные циклы кристаллов  $(\text{N}(\text{CH}_3)_4)_2\text{CoCl}_4$  в НС фазе.

также при  $T=127$  К на свежевырезанных образцах, полученных из кристаллов  $(\text{TMA})_2\text{CoCl}_4$ , выращенных в НС фазе. После отжига в Р фазе она исчезала.

Описанные особенности температурного поведения спектров поглощения кристаллов  $(\text{TMA})_2\text{CoCl}_4$  можно объяснить следующим образом. В фазе V происходит понижение симметрии относительно Р фазы ( $tmm \rightarrow 2/m$ ). Кроме этого, после выдерживания образца в НС фазе (или вследствие роста в этой фазе) под влиянием поля модулированной структуры появляется волна упорядоченных дефектов и примесей, которая приводит к дальнейшему понижению локальной симметрии ионов  $\text{Co}^{2+}$ . В результате для фазы V появляется дополнительная полоса с  $\lambda=585$  нм. Отжиг кристалла в Р фазе сопровождается разупорядочением примесей и дефектов, что приводит к исчезновению полосы с  $\lambda=585$  нм.

На рис. 2 представлены температурные зависимости оптического пропускания  $I$  кристаллов  $(\text{TMA})_2\text{CoCl}_4$ , измеренные в режимах нагревания и охлаждения. Исследования проводились в спектральной области, отвечающей краю фундаментального поглощения ( $\lambda=264$  нм). Как видно из этого рисунка, в области НС фаз II, II' наблюдается температурный гистерезис. Стабилизация температуры в НС фазе в режиме охлаждения (нагревания) сопровождается временными изменениями  $I$  в сторону кри-

вой нагревания (охлаждения) — рис. 2, а. При повторном температурном прохождении точки стабилизации на зависимости  $I=f(T)$  наблюдалась аномалии (рис. 2, б), величина и форма которых зависит как от продолжительности стабилизации, так и от температуры, при которой происходила стабилизация (ЭТОП). Вследствие изменения температурного хода от охлаждения к нагреванию и обратно в НС фазе величина  $I$  практически не изменяется вплоть до пересечения с кривой нагревания (или охлаждения) и идет далее по этой кривой (рис. 2, в). При этом описывается замкнутая фигура типа «параллелограмм», наблюдавшаяся ранее по двупреломлению [8].

Описанные выше особенности оптического пропускания кристаллов  $(\text{TMA})_2\text{CoCl}_4$  можно объяснить на основе рассмотрения взаимодействия НС структуры с кристаллической решеткой, а также с дефектами и примесями [9]. Такой подход применялся ранее при описании температурных особенностей диэлектрической проницаемости [10] и двупреломления [3] в НС фазе кристаллов группы  $\text{A}_2\text{BX}_4$ .

Проявление эффектов термической памяти в спектрах поглощения кристаллов  $(\text{N}(\text{CH}_3)_4)_2\text{CoCl}_4$

$\lambda$ , нм	$v$ , $\text{cm}^{-1}$	Переходы
630	15800	$^4T_{1g}(^4F) \rightarrow ^4T_{1g}(^4P)$
530	18900	$^4T_{1g}(^4F) \rightarrow ^2T_{1g}(^2G)$
450	22200	$^4T_{1g}(^4F) \rightarrow ^2T_{2g}(^2G)$
410	24400	$^4T_{1g}(^4F) \rightarrow ^2E_g(^2G)$
360	27800	$^4T_{1g}(^4F) \rightarrow ^2A_{1g}(^2G)$

Природой термического гистерезиса является связь процессами зарождения и аннигиляции солитонов. Природа ЭТОП связана с локализацией параметра несоразмерности  $\delta$  в точке температурной стабилизации.

Следовательно, в области края фундаментального поглощения кристаллов  $(\text{TMA})_2\text{CoCl}_4$  наблюдаются характерные для НС фаз температурный гистерезис, кинетика, частные циклы типа «параллелограмм», а также ЭТОП. Кроме этого, в спектрах поглощения ионов  $\text{Co}^{2+}$  обнаружен новый ЭТОП, проявляющийся в возникновении слабой дополнительной полосы при  $\lambda_{\max}=585$  нм. Природа последней, очевидно, связана с понижением локальной симметрии иона  $\text{Co}^{2+}$  в поле волны упорядоченных дефектов и примесей.

#### Л и т е р а т у р а

- [1] Lederer P., Montambaux G., Jamet J. P., Chauvin M. J. // Phys. Lett. 1984. V. 45. N 12. P. L627—L637.
- [2] Unruh H. J. // Phys. C: Sol. St. Phys. 1983. V. 16. N 10. P. 3245—3255.
- [3] Влох О. Г., Каминский Б. В., Китык А. В. и др. // ФТТ. 1987. Т. 29. № 5. С. 2215—2217.
- [4] Errandonea G., Schneck I., Toledoano C. et al. // Ferroelectrics. 1984. V. 53. N 3. P. 247—250.
- [5] Aleksandrova I. P., Sukhovskiy A. A., Pozanov O. V. et al. // Ferroelectrics. 1985. V. 64. N 1. P. 79—86.
- [6] Hasebe K., Mashiyama H., Tanisaki S. J. // Phys. Soc. Jpn. 1980. V. 49. N 1. P. 1633—1640.
- [7] Влох О. Г., Каминский Б. В., Половинко И. И., Свелеба С. А. // ФТТ. 1986. Т. 28. № 9. С. 2911—2914.
- [8] Влох О. Г., Каминский Б. В., Половинко И. И., Свелеба С. А. // УФЖ. 1987. Т. 32. № 10. С. 1546—1550.
- [9] Jancvee V., Godefroy L. R., Godefroy G. // Ferroelectrics. 1984. V. 53. N 1—4. P. 333—336.
- [10] Струков Б. А., Уесу И., Артюнова В. М. // Письма в ЖЭТФ. 1982. Т. 35. N 10. С. 424—427.

Львовский государственный  
университет им. И. Франко  
Львов

Поступило в Редакцию  
15 апреля 1988 г.  
В окончательной редакции  
15 сентября 1988 г.